

III-120 施設の回転変形を考慮した鉛直粗杭の横抵抗

川田工業 正員 三品吉彦

1.はじめに

杭基礎の横抵抗の問題が最近の話題になりつつあるが、実際に設計計算を行う場合、どのような算式を用いたらよいのか、未だ筆者も迷うことが多い。実用的計算式としては、弾性理論に基くものかを簡単なもののが望まれるのは当然であろう。従って、いわゆるChang式が多く用いられるものと思われるが、フーテンゲル等により杭頭と緊結した場合には、奥側値との差が著しい。

Chang式によれば、粗杭の頭をフーテンゲル等で剛結したと見なせる場合は、杭頭の回転、変形がないものとして計算される。実際には回転変形が生じると考えられ、水平力の他に軸倒モーメントが作用する場合の回転量は無視できない値であろう。また、杭の横抵抗に対する杭の軸力が有効に働くことも考えられる。これらのことについては、幾つかの報告によて確かめられる。^{1), 2), 3)} また、後藤¹⁾、玉野²⁾などはフーテンゲルの回転、従って軸力をも含めた約合条件から変形量を求めておりが、軸転力と等しい場合、繊維とあたりして実用的ではないように思われる。

筆者は、地盤と杭を完全弾性体、フーテンゲルを完全剛体と仮定し、回転の影響をとり入れた算式を鉛直粗杭の場合について簡単に示す。フーテンゲルが地上に露出した場合について実験を行つてころ、比較的良好な結果を得たので兹に報告する。理論式を扱うのとは別に地盤係数を算式に合うよう求めることも重要な問題であるが、ここでは触れないことにする。

2.算定式

基礎方程式はChangにならひ、弾性線上に置かれ半無限長の梁に付けて式を用ひれば、解は、

$$y = e^{-\beta x} (C_1 \cos \beta x + C_2 \sin \beta x), \quad t = E_s l, \quad \beta = \sqrt{\frac{KD}{4E_s}} \quad (1)$$

と表わされる。座標系は右図のようとする。フーテンゲルの回転角を α とすると、粗杭を構成するすべての杭の $x=0$ に於ける回転角 α はりゆつである。杭全体が受けもつ水平力を H_p 、杭本数が n のとき杭一本当りの水平力を簡単のため H_p/n とすると、境界条件は、

$$x = 0 \text{ に於ける } (dy/dx) = -\alpha \quad \text{及} \quad (d^2y/dx^2) \cdot H_p/nEI \quad (2)$$

であるから、係数 C_1 、 C_2 が次のようになる。

$$C_1 = -\frac{\beta H_p}{nE_s} + \frac{\alpha}{2\beta}, \quad C_2 = \frac{\beta H_p}{nE_s} - \frac{\alpha}{2\beta}, \quad t = E_s l, \quad E_s = KD \quad (3)$$

と定まる。フーテンゲルの部分に対する地盤反力係数を次回のよきとする。地盤反力 P は、

$$P = E_s(\alpha') \cdot y = E_s \left(1 - \frac{K'}{E_s}\right) (y_{2,0} + \alpha' x') = E_s \left\{ \left(\frac{\beta H_p}{nE_s} + \frac{\alpha}{2\beta}\right) + \left(\alpha - \frac{\beta H_p}{nE_s} - \frac{\alpha}{2\beta}\right) x' - \frac{\alpha}{\beta} x'^2 \right\} \quad (4)$$

であるから、その合力 P 及、フーテンゲル面に沿う地盤反力のモーメント M_s は、

$$P = \int_0^l P dx' = \frac{1}{6} E_s l \left(\frac{3\beta H_p}{nE_s} + \frac{3\alpha}{\beta} + \alpha l \right) \quad (5)$$

$$M_s = \int_0^{\ell} p x' dx' = \frac{1}{12} E_s' \ell^2 \left(\frac{Z \beta H_p}{n E_s} + \frac{\alpha}{\beta} + \alpha \ell \right) \quad (6)$$

また、鉛直反力による拘束モーメント M_v 及び杭自体の曲げ拘束 M_f を考えれば、

$$M_v = \alpha \cdot \sum K_{v,i} x_i^2, (K_{v,i} \text{ はパネ定数}) \quad (7)$$

$$M_f = -EI \frac{d^2y}{dx^2} = nEI\beta a - \frac{H_p}{2n\beta} \quad (8)$$

外力 H がフーチング底面から先の高さに作用するとき、軸側エーメントは $M = H \cdot h$ であるから、水平力とエーメントの釣合を考えれば、

$$H = P + H_p, \quad M = M_s + M_v + M_f \quad (9)$$

である。 P, M_s, M_v, M_f は式々 (5), (6), (7), (8) で与えられ、 H_p は $x=0$ における y の値を y_0 とき (1) から y_0 と α を含む形で表わされるから、当初既知として α, y_0 は (9) を連立させて、

$$A_1 \alpha + B_1 y_0 = H, \quad A_2 \alpha + B_2 y_0 = M \quad (10)$$

$$\text{ここで}, \quad A_1 = \frac{1}{12} E_s' \ell \left(\frac{\beta}{\beta} + 2\ell \right) - 2nEI\beta^2, \quad B_1 = \frac{1}{2} E_s' \ell + 4nEI\beta^2$$

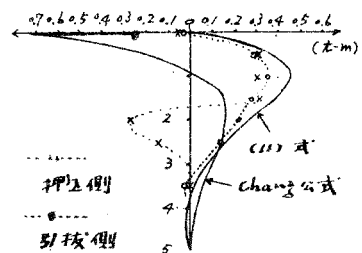
$$A_2 = \frac{1}{12} E_s' \ell^3 + 2nEI\beta + \sum K_{v,i} x_i^2, \quad B_2 = \frac{1}{6} E_s' \ell^2 - 2nEI\beta^2$$

となりまる。従って各断面力が計算でき、例えば、杭軸に沿う曲げモーメントは次式で与えられる。

$$M_x = -EI \frac{d^2y}{dx^2} = 2EI\beta^2 e^{-\beta x} \left\{ \left(y_0 - \frac{\alpha}{\beta} \right) \cos \beta x - y_0 \sin \beta x \right\} \quad (11)$$

3. 実験とその結果

径 216.3 mm の鋼管杭に拘束繩蓬計を貼布し、半分に割った钢管を保護したものと 1 m の間隔で 2 本打込んだ。深度は 5 m で β より大であるから (10) 式を適用できると考えられる。荷重を考慮した K 値は、 $N=10$ のとき約 8.0 kN/cm^2 である。このとき $\beta = 0.85/\text{m}$ となる。地上部は鋼板を用いて剛結条件を近似した。フーチングがないので $E_s' = 0$ とおき、(10), (11) 式によつて計算 (左結果と実測より得られた値と曲げモーメントについて示した。



$$K_{v,i} = \begin{cases} 1 \times 10^4 (\text{GPa}) \\ 2 \times 10^4 (\text{GPa}) \end{cases} \text{ と仮定}$$

4. まとめ

実験を受ける杭については β の取り方の問題が残るだけで良い結果が得られたのに対して押込みを受ける杭のモーメント分布形が異なるのは、軸力の影響をパネ定数の形でのみ考慮したためか。 β による上部工の横変位が問題となるか、動的特性を考慮せねばならぬとの如きが今後の課題としている。

1) 後藤尚男・他、斜杭・粗杭の水平拘束杭に関する模型実験的研究、土木学会論文集 29号、2) 日下 海、橋梁下部構造の水平拘束について、第 8 回日本道路会議、3) 船越橋基礎鋼管杭の水平載荷試験について、同上、4) 新しい基礎工法の設計、近代図書、5) 基礎地盤コンサルタントの資料より。